

تأثیر جرم مؤثر وابسته به مکان بر روی خواص اپتیکی میله کوانتومی

رضا خرداد و بهاره میرحسینی

گروه فیزیک، دانشکده علوم، دانشگاه یاسوج

پست الکترونیکی: khordad@mail.yu.ac.ir

(دريافت مقاله: ۱۳۹۱/۱/۲۷؛ دريافت نسخه نهائي: ۱۳۹۲/۸/۲۸)

چکیده

در اين مقاله، ابتدا يك رابطه تحليلي برای جرم مؤثر وابسته به مکان برای ميله کوانتومي $\text{GaAs}/\text{Al}_x\text{Ga}_{1-x}\text{As}$ به دست آورده شده است. سپس، تأثیر جرم مؤثر وابسته به مکان بر روی ضریب جذب اپتیکی و تغییرات ضریب شکست در میله کوانتومی بررسی شده است. محاسبات عددی با استفاده از هر دو جرم مؤثر ثابت و جرم مؤثر وابسته به مکان گردآوری شده است. در اینجا، ضریب جذب و ضریب شکست خطی، غیرخطی و کل به صورت تابعی از شدت اپتیکی فرودی و پارامترهای ساختاری سیستم از جمله طول میله و شعاع میله را محاسبه شده است. نتایج به دست آمده برای این کار نشان می‌دهند که جرم مؤثر وابسته به مکان نقش مهمی در ضریب جذب اپتیکی و تغییرات ضریب شکست مرتبه کوانتومی ایفا می‌کند.

واژه‌های کلیدی: میله کوانتومی، خواص اپتیکی خطی و غیرخطی، تغییرات ضریب شکست

کامپیوترهای کوانتومی، حافظه‌های اپتیکی^۱، ماشین‌های خودکار سلولی^۲ و آشکارسازهای نوری مادون قرمز اشاره نمود [۷-۲]. پس از اینکه اساکی و تسو پیشنهاد اولیه خود را در مورد سیم‌های کوانتومی و نقطه‌های کوانتومی ارائه کردند [۸]، پیشرفت‌ها در این زمینه سرعت بیشتری یافت. مواد جدید و تکنولوژی‌های رشد پیشرفته‌تر، باعث تولید سیستم‌های جدیدی شد که الکترون‌ها را در یک، دو یا سه بعد محدود می‌کردند. مطالعات در زمینه‌های مختلف روی این ساختارها شروع شد و

۱. مقدمه

در دهه گذشته، ساختار نیم رسانا با بعد پایین، به دلیل خواص ویژه و کاربردهای فراوان، توجه بسیاری زیاد از دانشمندان را به خود جلب کرده است. این نانوساختارها، شاخه‌های جدیدی در علوم فیزیک و شیمی ایجاد نموده‌اند و با توجه به کاربردهای گسترده‌ای که در قطعات اپتوالکترونیکی دارند، مطالعات زیادی بر روی آنها انجام شده است [۱]. مثال‌هایی از این نانوساختارها شامل سیم کوانتومی، چاه کوانتومی، نقطه کوانتومی و میله کوانتومی می‌باشند. از کاربردهای اپتیکی این ساختارهای نیم رسانا می‌توان به لیزرهای اپتیکی این

۱. Optical memories

۲. Cellular automata

انرژی بستگی دهنده در نقطه کوانتمومی مورد مطالعه قرار داده‌اند. الابسی تأثیر فشار هیدرواستاتیک بر انرژی بستگی با ناخالصی دهنده را در سد کوانتمومی محاسبه کرده است [۲۳]. اخیراً پیتر و همکارانش اثر هم‌زمان دما و فشار را در سد کوانتمومی $\text{GaAs}/\text{Ga}_{1-x}\text{Al}_x\text{As}$ بررسی کرده‌اند [۲۴]. اطلاعات بیشتر در این زمینه و برای سیستم‌های دیگر را می‌توان در منابع زیر مطالعه نمود [۲۵-۳۲].

یکی از عوامل مهم و جالب، تأثیر جرم مؤثر غیر ثابت (وابسته به مکان) بر روی خواص اپتیکی نانو ساختارها می‌باشد. در این مقاله، قصد داریم تأثیر این عامل را در یک میله کوانتمومی مورد بررسی قرار دهیم.

۲. هامیلتونی و ویژه توابع

هامیلتونی یک الکترون در یک میله کوانتمومی عبارت است از:

$$H = \frac{P^2}{2m} + V(\rho), \quad (1)$$

که در آن m^* جرم مؤثر و $V(\rho)$ پتانسیل محدود کننده می‌باشد، که رابطه آن به شکل زیر است [۳۳]

$$V(\rho) = \begin{cases} 0 & \rho \leq R \\ V_0 & \rho > R \end{cases}, \quad (2)$$

که در آن V_0 ارتفاع پتانسیل بین $\text{Al}_x\text{Ga}_{1-x}\text{As}$ و GaAs است و می‌تواند بر حسب ناپیوستگی گاف نواری (ΔE_G) تعیین شود. فرض می‌کنیم که ارتفاع پتانسیل، ۶۰٪ اختلاف گاف نواری بین دو ماده باشد. این ناپیوستگی گاف نواری (ΔE_G) برابر با عمق چاه (V_0) می‌باشد و از رابطه زیر به دست می‌آید

$$V_0 = \Delta E_G = 0.6(1.04x + 0.47x^2) \text{ (eV)}, \quad (3)$$

در اینجا x غلظت آلومینیوم است. لازم به ذکر است که انتخاب ارتفاع پتانسیل به صورت ۶۰٪ اختلاف گاف نواری بین دو ماده، از مراجع [۳۲ و ۳۳] گرفته شده است.

برای حل معادله شرودینگر، از روش جداسازی متغیرها استفاده می‌کنیم. ابتدا متغیر z را از ρ و φ جدا می‌کنیم. جواب حاصل ضربی زیر $\Psi(\rho, \varphi, z) = \theta(\rho, \varphi)\omega(z)$ را در معادله شرودینگر جایگزین کرده و سپس طرفین را بر θ تقسیم می‌کنیم. بنابراین خواهیم داشت:

یکی از زمینه‌های مورد توجه، مطالعه بر روی خواص اپتیکی این ساختار بود چرا که در این سیستم‌ها تغییر حالت یک الکترون تغییراتی اساسی را به وجود می‌آورد. تحلیل‌های نظری زیادی برای تغییرات ضربی شکست و ضربی جذب با گذار اپتیکی در سدهای کوانتمومی تکی و چندگانه ارائه شده است. مثلاً کان^۱ و همکارانش تأثیرات میدان الکتریکی را بر روی ضربی شکست و ضربی جذب در یک سد کوانتمومی با ساختارهای متشکل از چند ماده، بررسی نمودند [۹]. تغییرات ضربی شکست خطی و ضربی جذب برای سد کوانتمومی سهموی توسط چانگ و آن محاسبه شد [۱۰]. اخیراً شی و پان ضربی جذب خطی و غیر خطی را برای سیستم‌های نیمرسانی ابرشبکه بررسی نمودند [۱۱].

همان‌طور که می‌دانیم، عوامل خارجی مختلف باعث تغییر خواص اپتیکی نانوساختارها می‌شوند. از این عوامل خارجی می‌توان به میدان‌های الکتریکی و مغناطیسی خارجی، ناخالصی‌ها، دما، فشار و غیره اشاره کرد. تاکنون مطالعات زیادی در این زمینه و برای بررسی بیشتر این تغییرات انجام شده است [۱۲-۱۴]. انرژی بستگی سد کوانتمومی با ناخالصی هیدروژنی دهنده توسط باستارد بررسی شده است [۱۵]. آتویان و همکارانش بیانی تحلیلی برای ضربی جذب بین لایه‌ای در نقطه کوانتمومی سهموی با حضور میدان‌های الکتریکی و مغناطیسی، ارائه نموده‌اند [۱۶]. کازاریان و همکارانش تأثیر انرژی‌های بستگی و انرژی کل ناخالصی را بر روی میزان میدان مغناطیسی در نقطه کوانتمومی، مطالعه نموده‌اند [۱۷]. تأثیرات دما در سد کوانتمومی $\text{GaAs}/\text{Ga}_{1-x}\text{Al}_x\text{As}$ توسط الابسی بررسی شده است [۱۸]. موساواتی و همکارانش اثر دما بر اکسایتون مقید در نقطه کوانتمومی استوانه‌ای را با استفاده از تقریب جرم مؤثر به دست آورده‌اند [۱۹]. تأثیرات فشار نیز در زمینه‌های مختلف بررسی شده است. پرز- مرچانکانو و همکارانش [۲۰]، موسکوسو- مورنو و همکارانش [۲۱]، جراردین جایام و همکارانش [۲۲] تأثیرات فشار هیدرواستاتیکی را بر روی

۱. Kan

$$\psi(\rho, \varphi, z) = J_n(\gamma\rho) e^{in\varphi} (A \sin \alpha z + B \cos \alpha z). \quad (11)$$

باید توجه کرد که تابع موج برای $R > \rho$ را می‌توان در شرایط مشابه به دست آورد. در این حالت عبارت $k^2 = 2m^* E / \hbar^2$ تبدیل به عبارت $q^2 = 2m^*(E - V_0) / \hbar^2$ می‌شود. باید به این نکته توجه کرد که تابع موج باید در بینهایت صفر شود. با استفاده از روش جدا سازی، همانند قسمت قبل، تابع موج به صورت زیر خواهد بود

$$\psi(\rho, \varphi, z) = H_m(\sigma\rho) e^{im\varphi} e^{\pm i\beta z}. \quad (11)$$

$$H_m(\gamma\rho) \text{ تابع هنکل می‌باشد و } \sigma^2 = q^2 - \beta^2.$$

می‌توان با به کار بردن شرایط مرزی بر روی توابع موج و مشتق اول آن، ویژه مقادیر انرژی را به دست آوریم.

۳. جرم مؤثر وابسته به مکان

در مطالعات گذشته جرم مؤثر حامل بار در ناحیه سد و داخل چاه ثابت در نظر گرفته می‌شد. اما می‌دانیم که این جرم مؤثر می‌تواند به مکان حامل بار نیز بستگی داشته باشد و از مکانی به مکان دیگر تغییر کند. بر این اساس به دنبال راهی برای بیان این نکته بوده‌ایم و متوجه شدیم که تاکنون، کارهای زیادی بر روی جرم مؤثر وابسته به مکان در چندین نانوساختار، نظیر چاه کوانتمومی، سیم کوانتمومی و نقاط کوانتمومی انجام شده است [۲۷-۳۰]. این کارها بر روی هر دو مدل سد متناهی و نامتناهی متمرکز شده‌اند. در این قسمت قصد داریم، یک عبارت تحلیلی برای جرم مؤثر وابسته به مکان در یک میله کوانتمومی و برای پتانسیل محدود به دست آوریم. لازم به ذکر است که این رابطه تاکنون گزارش نشده است.

برای هر مدل محدود، از آنجا که تونل زنی در درون سد ممکن است، باید جرم سد نیز همچنین در محاسبات جرم مؤثر وابسته به مکان در نظر گرفته شود. در این ارتباط، رابطه زیر را پیشنهاد می‌کنیم

$$\frac{1}{m^*(\rho)} = A + B\rho^2, \quad (12)$$

که در آن A و B باید توسط مرزی تعیین شوند. با به کار بردن

$$\begin{aligned} \frac{1}{\omega(z)} \frac{d^2\omega}{dz^2} + \frac{1}{g(\rho, \varphi)} \\ \times \left(\frac{\partial^2 g}{\partial \rho^2} + \frac{1}{\rho} \frac{\partial g}{\partial \rho} + \frac{1}{\rho^2} \frac{\partial^2}{\partial \varphi^2} + k^2 \right) g(\rho, \varphi) = 0, \end{aligned} \quad (4)$$

که بر رابطه زیر دلالت می‌کند:

$$\begin{aligned} -\frac{1}{\omega(z)} \frac{d^2\omega}{dz^2} = \frac{1}{g(\rho, \varphi)} \\ \times \left(\frac{\partial^2 g}{\partial \rho^2} + \frac{1}{\rho} \frac{\partial g}{\partial \rho} + \frac{1}{\rho^2} \frac{\partial^2}{\partial \varphi^2} + k^2 g \right) = \alpha^2. \end{aligned} \quad (5)$$

α^2 ، ثابت جداسازی و $k^2 = 2m^* E / \hbar^2$ در حالت $\rho < R$ می‌باشد. برای $\omega(z)$ ، جواب موج ایستاده را به صورت زیر پیدا می‌کنیم:

$$\omega(z) = A \sin \alpha z + B \cos \alpha z \quad (6)$$

که در آن A و B پارامترهای ثابت هستند. برای تابع $\theta(\rho, \varphi)$ ، معادله زیر را به دست می‌آوریم:

$$\frac{\partial^2 g}{\partial \rho^2} + \frac{1}{\rho} \frac{\partial g}{\partial \rho} + \frac{1}{\rho^2} \frac{\partial^2}{\partial \varphi^2} + \gamma^2 g = 0, \quad (7)$$

که در آن $\gamma^2 = k^2 - \alpha^2$ می‌باشد. اکنون می‌توان متغیرهای ρ و φ را جداسازی کرد. حاصل ضرب $(\varphi) \chi(\varphi) g = u(\rho) \chi(\varphi)$ را پیشنهاد می‌کنیم و آن را در معادله بالا قرار می‌دهیم. اکنون خواهیم داشت

$$\frac{\rho^2}{u(\rho)} \left(\frac{d^2 u}{d\rho^2} + \frac{1}{\rho} \frac{du}{d\rho} + \gamma^2 \right) = -\frac{1}{\chi(\rho)} \frac{d^2 \chi}{d\rho^2} = n^2 \quad (8)$$

ثابت جداسازی n^2 باید صحیح باشد، زیرا جواب زاویه‌ای $\chi = e^{in\varphi}$ باید در شرایط مرزی صدق کند.

$$\frac{d^2 u}{d\rho^2} + \frac{1}{\rho} \frac{du}{d\rho} \left(\gamma^2 - \frac{n^2}{\rho^2} \right) u = 0. \quad (9)$$

اکنون در رابطه بالا، آرگومان شعاعی $\rho \rightarrow r = \gamma\rho$ را جایگزین می‌کنیم و طرفین را به r^2 تقسیم می‌کنیم. قسمت شعاعی تابع موج به صورت زیر به دست می‌آید:

$$\frac{d^2 u}{dr^2} + \frac{1}{r} \frac{du}{dr} \left(1 - \frac{n^2}{r^2} \right) u = 0. \quad (10)$$

برای $v = n$ معادله بالا، یک معادله دیفرانسیل بسل معمولی است. برای $R < \rho$ ، جواب‌های $J_n(\gamma\rho)$ به کار می‌بریم زیرا جواب مستقل دوم در مبدأ نامنظم و غیر قابل قبول است.

حل معادله (۸) از روش تکرار استفاده شده است [۳۲]:

$$\rho(t) = \sum_n \rho^{(n)}(t), \quad (18)$$

$$\begin{aligned} \frac{\partial \rho_{ij}^{(n+1)}}{\partial t} &= \frac{1}{i\hbar} \left\{ \left[H_0, \rho^{(n+1)} \right]_{ij} - i\hbar \Gamma_{ij} \rho_{ij}^{(n+1)} \right\} \\ &\quad - \frac{1}{i\hbar} \left[qx \cdot \rho^{(n)} \right]_{ij} E(t). \end{aligned} \quad (19)$$

این مسئله برای یک سیستم الکترونی دو ترازه حل شده تا از پیچیدگی آن کاسته شود. از سویی قطبش پذیری الکترونی $P(t)$ و پذیرفتاری $\chi(t)$ را می‌توان با کمک عملگر دوقطبی M و ماتریس چگالی ρ به صورت زیر تعریف نمود:

$$\begin{aligned} P(t) &= \varepsilon_0 \chi(\omega) \tilde{E} e^{-i\omega t} + \varepsilon_0 \chi(-\omega) \tilde{E}^* e^{i\omega t} \\ &= \frac{1}{V} \text{Tr}(\rho M), \end{aligned} \quad (20)$$

که V حجم سیستم و ρ ماتریس چگالی تک الکترون می‌باشد. همچنین ε_0 گذردهی خلا و نماد Tr یا رد مجموع عناصر قطر اصلی هر ماتریس را نشان می‌دهد.

شکل تحلیلی پذیرفتاری خطی $\chi^{(1)}$ و غیرخطی $\chi^{(3)}$ به شکل زیر می‌باشد [۱۲]. برای پذیرفتاری خطی داریم:

$$\varepsilon_0 \chi^{(1)}(\omega) = \frac{\sigma_v |M_{21}|^2}{E_{21} - \hbar\omega - i\hbar\Gamma_{21}}, \quad (21)$$

و برای پذیرفتاری غیر خطی مرتبه سوم داریم:

$$\begin{aligned} \varepsilon_0 \chi^{(3)}(\omega) &= -\frac{\sigma_v |M_{21}|^2 |E|^2}{E_{21} - \hbar\omega - i\hbar\Gamma_{21}} \left[\frac{4|M_{21}|^2}{(E_{21} - \hbar\omega)^2 - (\hbar\Gamma_{21})^2} \right. \\ &\quad \left. - \frac{(M_{22} - M_{11})^2 |E|^2}{(E_{21} - i\hbar\Gamma_{21})(E_{21} - \hbar\omega - i\hbar\Gamma_{21})} \right]. \end{aligned} \quad (22)$$

پذیرفتاری $\chi(\omega)$ ، با تغییرات ضربی شکست به صورت زیر رابطه دارد [۳۴]:

$$\frac{\Delta n^{(1)}(\omega)}{n_r} = \text{Re} \left(\frac{\chi(\omega)}{2n_r^2} \right), \quad (23)$$

که در آن n_r ضربی شکست می‌باشد. با استفاده از روابط قبل تغییرات ضربی شکست خطی و غیرخطی را می‌توان به صورت زیر نوشت:

شرایط مرزی، داریم:

الف) برای $\rho = 0$

$$\frac{1}{m^*(\rho)} = A = \frac{1}{m_W^*}, \quad (13)$$

ب) برای $\rho = R$

$$\frac{1}{m^*(R)} = A + BR^2 = \frac{1}{m_b^*}, \quad (14)$$

جرم مؤثر GaAs با غالوت به صورت $m_b^* = m^*(0,067 + 0,835x)$ تغییر می‌کند. با به کار بردن شرایط مرزی A و B تعیین می‌شوند. با قرار دادن شرایط مرزی در معادله (۶)، جرم مؤثر وابسته به مکان برای میله کوانتوسی به صورت زیر به دست می‌آوریم

$$\frac{1}{m^*(\rho)} = \frac{1}{m_W^*} \left[1 - \frac{r^2 \Delta}{R^2} \right] \quad (15)$$

که در آن $\Delta = \frac{0,835x}{m_W^*}$ می‌باشد.

۴. تغییرات ضربی شکست و ضربی جذب

برای محاسبه تغییرات ضربی شکست و ضربی جذب برای ساختار میله کوانتوسی مربوط به گذار اپتیکی بین دو حالت الکترونی، ابتدا باید ماتریس چگالی را به دست آوریم. فرض می‌کنیم سیستم تحت تأثیر میدان مغناطیسی به شکل زیر برانگیخته شده است:

$$E(t) = E_0 \cos(\omega t) = \tilde{E} e^{i\omega t} + \tilde{E}^* e^{-i\omega t}. \quad (16)$$

برای سادگی مسئله فرض می‌کنیم موج فرودی در راستای Z قطبیده شده باشد. پس می‌توان برای تابع وابسته به زمان ماتریس چگالی ρ ، رابطه زیر را نوشت [۲۲ و ۳۳].

$$\frac{\partial \rho}{\partial t} = \frac{1}{i\hbar} [H_0 - qxE(t), \rho] - \Gamma(\rho - \rho^{(0)}), \quad (17)$$

که در آن H_0 هامیلتونی سیستم بدون میدان الکترومغناطیسی $E(t)$ ، q بار الکترواستاتیکی، $\rho^{(0)}$ عملگر ماتریس چگالی مختل نشده، علامت $[A, B]$ ، جابه‌جاگر مکانیک کوانتوسی و Γ عملگر کترول میرایی در اثر برهمکنش الکترون-فونون یا برخورد بین الکترون‌ها و غیره می‌باشد. فرض می‌شود Γ ماتریسی قطری بوده و عناصر آن برابر با وارون زمان واهلش T می‌باشند. برای

از سوی دیگر، پذیرفتاری $\chi(\omega)$ نیز با ضریب جذب ارتباط دارد، که توسط رابطه زیر بیان می‌شود [۳۲]:

$$\alpha(\omega) = \omega \sqrt{\frac{\mu}{\epsilon_R}} \operatorname{Im}[\epsilon_0 \chi(\omega)]. \quad (29)$$

در اینجا ϵ_R بخش حقیقی گذردهی الکتریکی و $\chi(\omega)$ تبدیل فوریه $\chi(t)$ با وابستگی $\exp(-i\omega t)$ می‌باشد. ضریب جذب خطی و غیر خطی مرتبه سوم را با توجه به روابط بالا می‌توان به شکل زیر نوشت:

$$\alpha^1(\omega) = \omega \sqrt{\frac{\mu}{\epsilon_R}} \left[\frac{\sigma_v \hbar \Gamma_{12} |M_{21}|^2}{(E_{12} - \hbar\omega)^2 + (\hbar\Gamma_{12})^2} \right], \quad (30)$$

$$\begin{aligned} \alpha^3(\omega, I) &= (-\omega) \sqrt{\frac{\mu}{\epsilon_R}} \left(\frac{I}{2\epsilon_0 n_r c} \right) \\ &\times \frac{|M_{21}|^2 \sigma_v \hbar \Gamma_{12}}{\left[(E_{21} - \hbar\omega)^2 + (\hbar\Gamma_{12})^2 \right]^2} \times 4 |M_{21}|^2 \\ &\times \left[\frac{|M_{22} - M_{11}|^2 [3E_{21}^2 - 4E_{21}\hbar\omega + \hbar^2(\omega^2 - \Gamma_{12}^2)]}{E_{21}^2 + (\hbar\Gamma_{12})^2} \right], \end{aligned} \quad (31)$$

ضریب جذب کل را می‌توان به صورت زیر نوشت:

$$\alpha(\omega, I) = \alpha^1(\omega) + \alpha^3(\omega, I). \quad (32)$$

۵. بحث و نتایج

در این بخش محاسبات عددی میله کوانتوسومی GaAs / Ga_{1-x}Al_xAs را به دست می‌آوریم. پارامترهای مورد استفاده عبارت‌اند از: $n_r = 3/2$, $\sigma_v = 3.0 \times 10^{16} \text{ cm}^{-3}$,

$$[\text{۳۲}] \quad \Gamma_{12} = \frac{1}{T_{12}}, \quad T_{12} = 0.2 \text{ Ps}$$

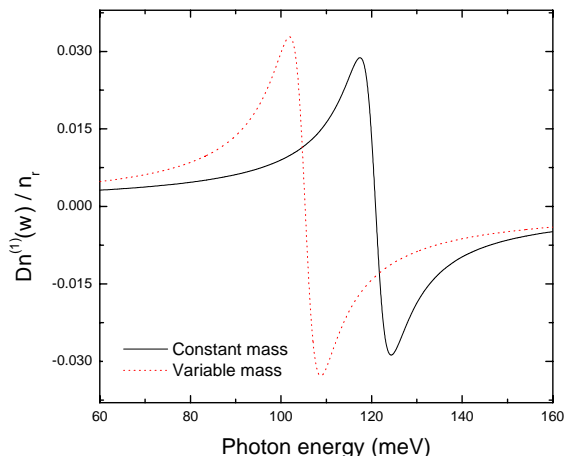
شکل ۱، تغییرات ضریب شکست خطی به صورت تابعی از انرژی فوتون برای یک میله کوانتوسومی با $I = 0.4 \frac{\text{MW}}{\text{cm}^2}$, $x = 0.2$, $R = 30 \text{ nm}$ و $L = 20 \text{ nm}$ رسم شده است. محاسبات با جرم مؤثر ثابت و جرم مؤثر وابسته به مکان می‌باشد.

همان‌گونه که مشاهده می‌شود، تغییرات ضریب شکست خطی برای جرم متغیر افزایش پیدا کند و همچنین به سمت انرژی‌های کمتر جابه‌جا می‌شود. دلیل اصلی برای این رفتار

$$\frac{\Delta n^{(1)}(\omega)}{n_r} = \frac{1}{2n_r^2 \epsilon_0} |M_{21}|^2 \sigma_v \left[\frac{E_{21} - \hbar\omega}{(E_{21} - \hbar\omega)^2 - (\hbar\Gamma_{21})^2} \right], \quad (24)$$

$$\begin{aligned} \frac{\Delta n^{(3)}(\omega)}{n_r} &= -\frac{\mu c}{4n_r^2 \epsilon_0} |M_{21}|^2 \frac{\sigma_v I}{[(E_{21} - \hbar\omega)^2 - (\hbar\Gamma_{21})^2]^2} \\ &[4(E_{21} - \hbar\omega) |M_{21}|^2 - \frac{(M_{22} - M_{11})^2}{(E_{21})^2 - (\hbar\Gamma_{21})^2}] \\ &\{ (E_{21} - \hbar\omega) [E_{21} (E_{21} - \hbar\omega) - (\hbar\Gamma_{21})^2] \\ &- (\hbar\Gamma_{21})^2 (2E_{21} - \hbar\omega) \}, \end{aligned} \quad (25)$$

که در آن σ_v چگالی حامل‌ها در این سیستم، μ نفوذپذیری سیستم،



شکل ۱. تغییرات ضریب شکست خطی به صورت تابعی از انرژی

فوتون برای یک میله کوانتوسومی با $x = 0.2$, $I = 0.4 \frac{\text{MW}}{\text{cm}^2}$ و $R = 30 \text{ nm}$ و $L = 20 \text{ nm}$

$M_{ij} = E_{ij} = E_i - E_j$ اختلاف انرژی بین دو حالت الکترونی و عناصر ماتریسی هستند که به صورت مقابله تعريف می‌شود:

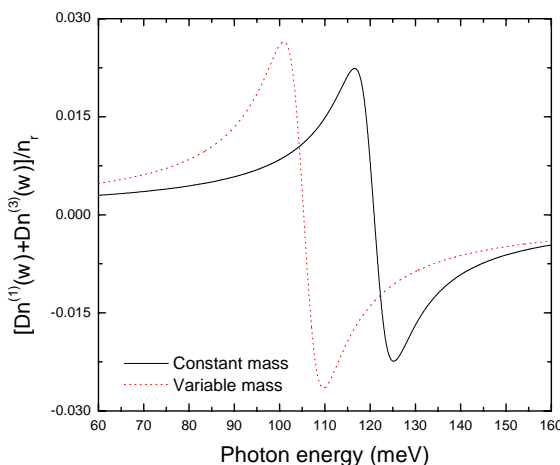
$$M_{ij} = |\langle \varphi_i | qx | \varphi_j \rangle| (i, j = 1, 2) \quad (26)$$

در رابطه بالا، I شدت اپتیکی فرودی است که از رابطه زیر به دست می‌آید [۵۳]:

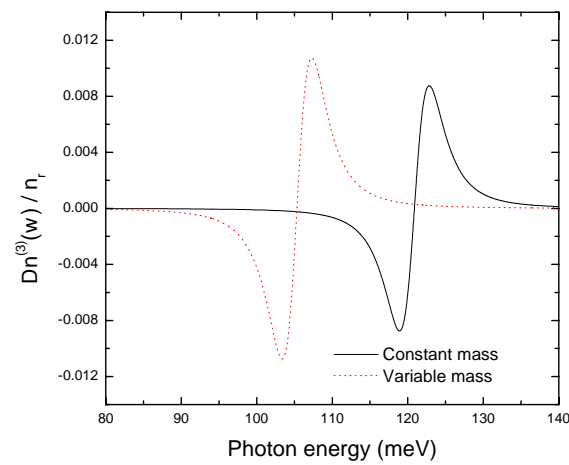
$$I = 2 \sqrt{\frac{\epsilon_R}{\mu}} |E(\omega)|^2 = \frac{2n_r}{\mu c} \quad (27)$$

در رابطه بالا، c سرعت نور در خلاء است. بنابراین تغییرات ضریب شکست کل برابر است با:

$$\frac{\Delta n(\omega)}{n_r} = \frac{\Delta n^{(1)}(\omega)}{n_r} + \frac{\Delta n^{(3)}(\omega)}{n_r}, \quad (28)$$



شکل ۳. تغییرات ضریب شکست کل به صورت تابعی از انرژی فوتون برای یک میله کوانتومی با $MW = 0,4 \frac{MW}{cm^2}$ ، $I = 0,2$ ، $x = 0,2$ ، $R = 30 nm$ و $L = 20 nm$



شکل ۲. تغییرات ضریب شکست غیرخطی به صورت تابعی از انرژی فوتون برای یک میله کوانتومی با $MW = 0,4 \frac{MW}{cm^2}$ ، $I = 0,2$ ، $x = 0,2$ ، $R = 30 nm$ و $L = 20 nm$

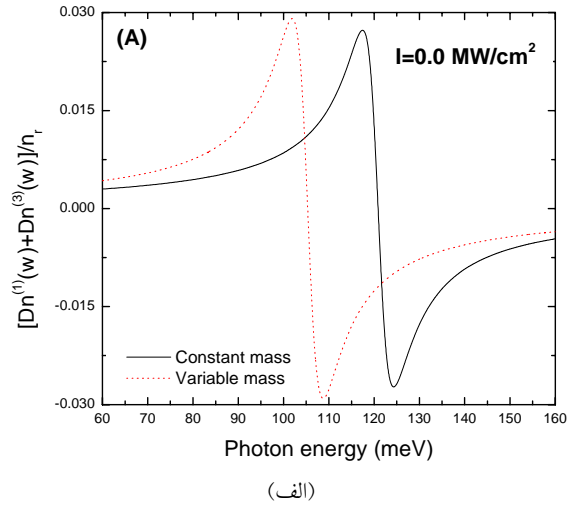
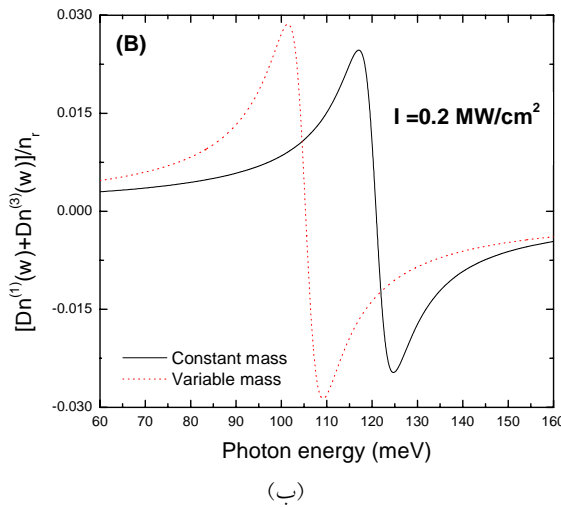
این است که اختلاف انرژی دو حالت الکترونی حالت پایه و اولین حالت برانگیخته کاهش می‌یابد.

در شکل ۲، تغییرات ضریب شکست غیرخطی به صورت تابعی از انرژی فوتون برای یک میله کوانتومی با $MW = 0,4 \frac{MW}{cm^2}$ ، $I = 0,2$ ، $x = 0,2$ ، $R = 30 nm$ و $L = 20 nm$ رسم شده است. دو نمودار بر اساس جرم مؤثر ثابت و جرم مؤثر وابسته به مکان رسم شده‌اند.

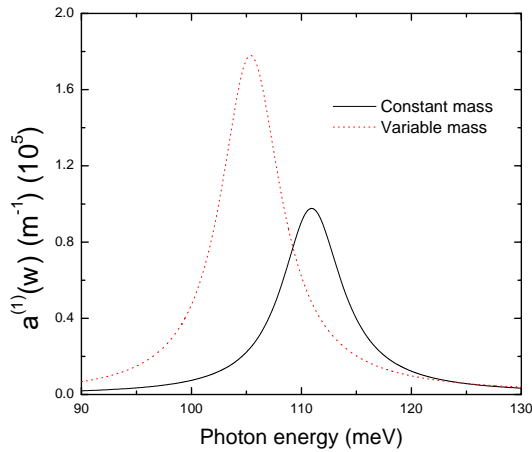
همان گونه که مشاهده می‌شود، تغییرات ضریب شکست غیرخطی برای جرم متغیر افزایش و انرژی به سمت انرژی‌های پایین تر جایه‌جا می‌شود. در شکل ۳، تغییرات ضریب شکست کل به صورت تابعی از انرژی فوتون برای یک میله کوانتومی با $MW = 0,4 \frac{MW}{cm^2}$ ، $I = 0,2$ ، $x = 0,2$ ، $R = 30 nm$ و $L = 20 nm$ رسم شده است. در این شکل متوجه می‌شویم، تغییرات ضریب شکست کل مشابه قسمت خطی و غیرخطی می‌باشد. از آنجایی که ضریب شکست خطی و غیرخطی دارای علامت مخالف هم هستند تغییرات ضریب شکست کل کمتر از قسمت خطی می‌باشد.

در شکل ۵، تغییرات ضریب شکست کل به صورت تابعی از انرژی فوتون برای دو طول مختلف میله با $MW = 0,2 \frac{MW}{cm^2}$ ، $I = 0,2$ ، $x = 0,2$ ، $R = 30 nm$ و $L = 20 nm$ رسم شده است. می‌توان مشاهده کرد که با افزایش طول میله، ضریب شکست کل (برای جرم متغیر) افزایش می‌یابد. این رفتار ناشی از تغییرات در محدودیت کوانتومی الکترون‌های درون میله می‌باشد.

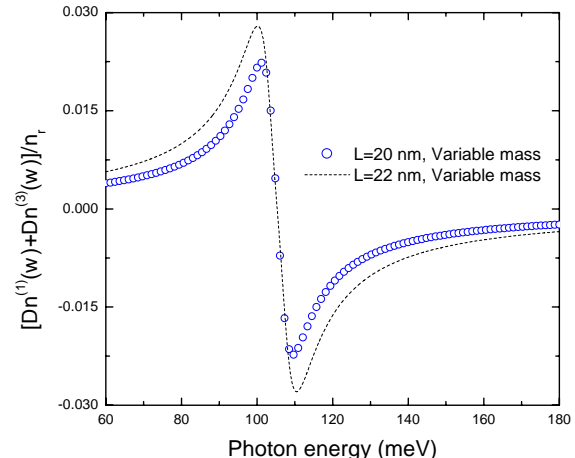
شکل ۶ ضریب جذب خطی را به صورت تابعی از انرژی



شکل ۴. (الف) تغییرات ضریب شکست کل به صورت تابعی از انرژی فوتون برای یک میله کوانتمومی با شدت اپتیکی صفر، با $x=0,2$ و $R = 30 \text{ nm}$ و $L = 20 \text{ nm}$. (ب) تغییرات ضریب شکست کل به صورت تابعی از انرژی فوتون برای یک میله کوانتمومی با $x=0,2$ ، $I=0,2 \frac{\text{MW}}{\text{cm}^2}$ و $R = 30 \text{ nm}$ و $L = 20 \text{ nm}$.



شکل ۶. ضریب جذب خطی را به صورت تابعی از انرژی فوتون برای یک میله کوانتمومی با $R = 30 \text{ nm}$ و $L = 20 \text{ nm}$ ، $x = 0,3$ ، $I = 0,3 \frac{\text{MW}}{\text{cm}^2}$

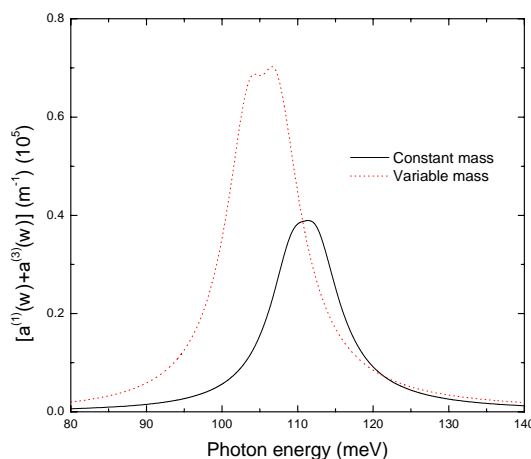


شکل ۵. تغییرات ضریب شکست کل به صورت تابعی از انرژی فوتون برای دو طول مختلف میله با $x=0,2$ ، $I=0,2 \frac{\text{MW}}{\text{cm}^2}$ و $R = 30 \text{ nm}$.

در شکل ۷، ضریب جذب غیر خطی به صورت تابعی از انرژی فوتون برای یک میله کوانتمومی با $I=0,3 \frac{\text{MW}}{\text{cm}^2}$ ، $x=0,2$ و $R = 30 \text{ nm}$ و $L = 20 \text{ nm}$ رسم شده است. این شکل نشان می دهد که تغییرات ضریب جذب غیرخطی افزایش یافته و (برای جرم متغیر) به سمت انرژی های کمتر جابه جا می شود.

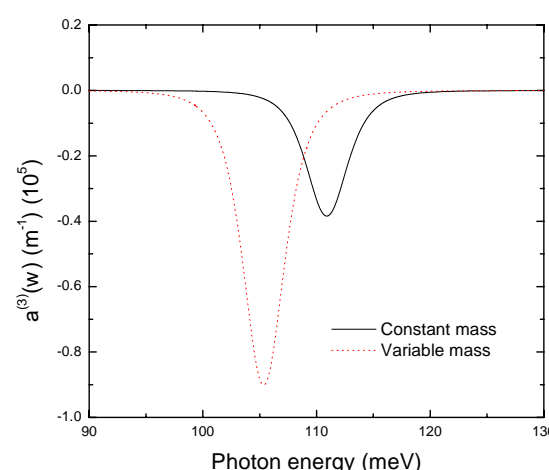
در شکل ۸، ضریب جذب کل به صورت تابعی از انرژی فوتون برای یک میله کوانتمومی با $x=0,2$ ، $I=0,3 \frac{\text{MW}}{\text{cm}^2}$

فوتون برای یک میله کوانتمومی با $x=0,2$ ، $I=0,3 \frac{\text{MW}}{\text{cm}^2}$ و $R = 30 \text{ nm}$ و $L = 20 \text{ nm}$ نشان می دهد. محاسبات با جرم مؤثر ثابت و جرم مؤثر وابسته به مکان می باشد. مشاهده می شود که تغییرات ضریب جذب خطی افزایش پیدا کند و همچنین برای جرم متغیر به سمت انرژی های کمتر جابه جا می شود. دلیل برای این رفتار این است که اختلاف انرژی دو حالت الکترونی کاهش می یابد.



شکل ۸. تغییرات ضریب جذب کل را به صورت تابعی از انرژی فوتون برای یک میله کوانتومی با $I = 0.3 \frac{\text{MW}}{\text{cm}^2}$ ، $R = 30 \text{ nm}$ و $L = 20 \text{ nm}$ ، $x = 0.3$

کمتر جابه‌جا می‌شود.



شکل ۷. ضریب جذب غیرخطی را به صورت تابعی از انرژی فوتون برای یک میله کوانتومی با $I = 0.3 \frac{\text{MW}}{\text{cm}^2}$ ، $x = 0.3$ و $R = 30 \text{ nm}$

$L = 20 \text{ nm}$ نشان داده شده است. رفتار ضریب جذب کل افزایش یافته و برای جرم متغیر به سمت انرژی‌های

مراجع

20. S T Perez-Merchancano, H Paredes-Gutierrez, and J Silva-Valencia, *J. Phys. Cond. Matt.* **19** (2007) 026225.
21. C A Moscoso-Moreno, R Franco, and J Silva-Valencia, *Revista Mexicana De Fisica* **53** (2007) 189.
22. Sr G Jayam, and K Navaneethakrishnan, *Solid State Communic.* **126** (2003) 681.
23. A M Elabsy, *Phys. Script.* **48** (1993) 376.
24. A J Peter and K Navaneethakrishnan, *Superlattices and Microstructures* **43** (2008) 63.
25. D C Larrabee *et al.*, *Appl. Phys. Lett.* **83** (2003) 3936.
26. J V Crnjanski and D M Gvozdic, *Serbian J. Electric. Engineer.* **1** (2004) 69.
27. A J Peter and K Navaneethakrishnan, *Physica E* **40** (2008) 2747.
28. S Rajashabala, K Navaneethakrishnan, *Brazil. J. Phys.* **37** (2007) 1134.
29. S Rajashabala, K Navaneethakrishnan, *Mod. Phys. Lett. B* **24** (2006) 1529.
30. Y X Li, J J Liu, and X J Kong, *J. Appl. Phys.* **88** (2000) 2588.
31. R Khordad, *Physica E* **42** (2010) 1503.
32. D Ahn and S L Chuang, *IEEE J. Quantum Electron.* **23** (1987) 2196.
33. S Ünlü, İ Karabulut, and H Safak, *Physica E* **33** (2006) 319.
34. K J Kuhn, G U Lyengar, and S Yee, *J. Appl. Phys.* **70** (1991) 5010.
1. M A Reed, *Sci. Am.* **268** (1993) 118.
2. N Kristaedter *et al.*, *Appl. Phys. Lett.* **69** (1996) 1226.
3. E Leobandung, L Guo, and S Y Chou, *Appl. Phys. Lett.* **67** (1995) 2338.
4. K K Likharev, *IBM J. Res. Dev.* **32** (1998) 1444.
5. D Loss and D P Divicenzo, *Phys. Rev. A* **57** (1998) 120.
6. K Imamura *et al.*, *Jpn. J. Appl. Phys.* **34** (1995) 1445.
7. C S Lent *et al.*, *Nanotechnology* **4** (1993) 49.
8. L Esaki and R Tsu, *IBM J. Res. Dev.* **14** (1970) 61.
9. Y Kan *et al.*, *IEEE J. Quantum Elect.* **23** (1987) 2167.
10. S L Chuang and D Ahn, *J. Appl. Phys.* **65** (1989) 2822.
11. J J Shi and S H Pan, *Superlattice Microstruct.* **17** (1995) 91.
12. L Yan and J M Seminario, *Int. J. Quantum Chem.* **107** (2007) 440.
13. I Lazic, Z Ikonik, V Milanovic, R W Kelsall, D Indjin, and P Harrison, *J. Appl. Phys.* **101** (2007) 093703.
14. S Panda, B K Panda, S Fung, and C D Beling, *J. Appl. Phys.* **80** (1996) 1532.
15. G Bastard, *Phys. Rev. B* **24** (1981) 4714.
16. M S Atoyan, E M Kazaryan, and H A Sarkisyan, *Physica E* **31** (2006) 83.
17. E M Kazaryan, A V Meliksetyan, L S Petrosyan, and H A Sarkisyan, *Physica E* **31** (2006) 228.
18. A M Elabsy, *Physica Scripta* **46** (1992) 473.
19. A El Moussaoui, D Bria, and A Nougaoui, *Solar Energ. Mater. Solar Cell.* **90** (2006) 1403.



Effect of variable effective mass on optical properties of quantum rod

R Khordad and B Mirhosseini

Department of Physics, Faculty of Sciences, Yasouj University, Yasouj, Iran
E-mail: khordad@mail.yu.ac.ir

(Received 15 April 2012 ; in final form 19 November 2013)

Abstract

In the present work, first an analytic relation for position-dependent effective mass in a $\text{GaAs} / \text{Al}_x\text{Ga}_{1-x}\text{As}$ quantum rod is obtained. Then, the effect of position-dependent effective mass on the intersubband optical absorption coefficient and the refractive index change in the quantum rod is examined. Our numerical calculations are performed using both a constant effective mass and the position-dependent effective mass. We calculate the linear, nonlinear and total intersubband absorption coefficient and refractive index change as a function of the incident optical intensity and structure parameters such as rod length and rod radius. The results obtained from the present work show that spatially varying electron effective mass plays an important role in the intersubband optical absorption coefficient and refractive index change in a quantum rod.

Keywords: quantum rod, linear and nonlinear optical properties, refractive index change

For full article, refer to the Persian section